

日立造船技術研究所

正会員

・前下治之

日立造船技術研究所

正会員

岩田節雄

神戸大学 工学部

正会員

藤井 学

1. まえがき 著者らは以前、大深度の海洋構造物の構造部材として、鋼板間にコンクリートを充填したサンドイッチ式の複合構造物の検討を行つたが¹⁾、ここに述べる鋼製枠と利用したプレキャストPC版(図1)は、比較的浅海域の海洋構造物の構造部材と対象として開発したものである。このPC構造物は研究すべき多くの問題点を有するが、その1つに設置環境が海洋であることから水密性が十分確保されなければならない。

このためには、(1)パネル(コンクリート)自体の水密性、(2)鋼製枠とコンクリート間の水密性、および(3)接合部(鋼と鋼の溶接接合)の水密性などが問題となる。しかし、(1),(3)については多く、の研究がなされており^{2),3)}、あまり問題がないと考えられるので、ここでは(2)について実験的に検討を行つた。

2. 実験概要 まず、鋼製枠とコンクリートの取合部の適当な防水工法を検討するにために、図2に示す10種類の二次元模型を製作した。各模型の水密性に対する処置を表1に示す。この構造物の実際の設置環境下では海水は版の片面から侵入するが、本研究では安全側でしかも簡単であることから、図5に示す方法により水密性確認実験を行つた。即ち、表1の実験方法に従い無負荷状態でウェブ中央よりインクで着色した圧力水を注入し、噴出水の有無によりての水密性を判定した。実験終了後は鋼製枠とコンクリートと分離し、コンクリートの打設性および透水性と比較検討した。次に図3に示す大型パネルと製作し、無負荷および負荷時の水密性を前述と同じ方法で表1に示す順序で検討した。さらに、この構造物の崩壊に至るまでの負荷過程における水密性を検討するために、図4に示す片持り模型による実験を行つた。荷重はコンクリートが圧壊するまで段階的に負荷し、水もれの有無を検討した。これらの模型に用いたコンクリートは、それ自体の水密性を十分考慮し、表2に示す寸法配合により打設した。コンクリートの練固めは棒状および型枠バイブレータを用い、PS導入は打設1週間後に $75\text{kg}/\text{cm}^2$ のプレストレスを導入した。模型は特別のものを除いて全て室内養生とし、1ヶ月後に実験に供した。コンクリートの試験結果を表2に示す。

3. 実験結果および考察 各模型の実験時の状況を表1に示す。10種類の小型模型の実験においては、注水の初期段階に僅かながら噴出したものがある。だが、約1週間後には水もれは完全に停止した。水もれのあったコンクリート表面は約2~4日で水滴のない湿润状態となり、約1週間で表面にはぼ乾燥状態となる。鋼製枠分離後のコンクリートのインク着色状況からは、各模型の実

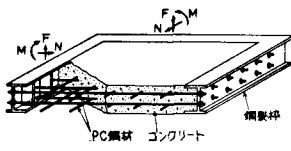


図1 鋼製枠で縫取ったプレキャストPC版

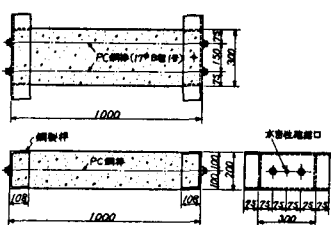


図2 水密性確認模型一覧図(M-1~M-10)

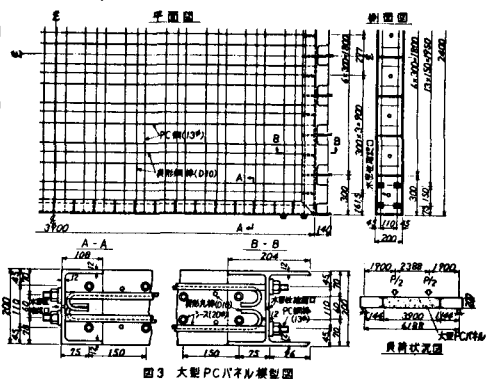


図3 大型PCパネル模型図

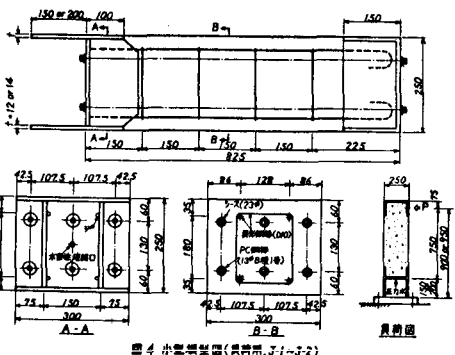


図4 小型模型図(貯水用,J-1~J-2)

騒音における噴出状況および支圧応力に応じて濃淡がかなり明確に認められた。しかし、噴出のなかった模型においても、ほぼ全表面に渡り僅かに着色していた。これは注入箇所近傍のインク着色水のコンクリートへの侵透深さが約1~3mmであることから、ウェブとコンクリートの接合面における侵透によるものと思われる。

次に、最も簡単な防水工法を選んだ大型パネルの水密試験では、注入当初4つのコーナ部のうち2つのコーナ部において噴出が認められた。これは、コーナ部はPS導入による鋼製枠の変形が他の部分よりも小さく、しかもコンクリートの打設が困難な箇所であるためであろう。この実験では、I長辺およびI短辺では実験当初から完全な水密性が確保され、しかも噴出の認められたコーナ部も前述の小型模型と同様、約1週間後に水もれは完全に停止した。引き続いで、クラック発生荷重の約2倍の静的負荷および繰返し負荷（クラック発生荷重の1.5倍の荷重と20回負荷）を作用させたが、この間に水もれ箇所から再噴出することはなかった。その後、注水を停止し6ヶ月後に再び注水実験を行ったが、前回の水もれ箇所から極く少量の圧力水の噴出が認められた。その後の注水継続時の状況は初回の場合とほぼ同様であった。さらに、長い経時変化に伴う水密性の変化を調査中である。これらの一連の実験において、噴出のあった模型においても時間経過と共に水密性が改善されるが、これは主に注入水による未水和セメントの水和反応の促進およびコンクリートの膨張に起因するものと考えられる。

一方、適当なワーカビリティを有するコンクリートで入念な施工を行ったものは、ウェブとコンクリートの接合面で特別な防水工を行なうことなく、導入プレストレスによる接觸圧により十分な水密性が確保される。

次に、この鋼製枠で縁取、TプレキャストPC版の水密性に関する一連の実験から得られた主な結論をまとめると以下のようである。

(1) 適当なワーカビリティーを有するコンクリートで入念な施工を行ったものは、ウェブとコンクリートの接合面で特別な防水工を行なうことなく、導入プレストレスによる接觸圧により十分な水密性が確保される。

(2) 一方、水密性が不良なものがあつても、侵透水によるセメントの水和反応の促進および膨張により比較的短時間のうちに水密性は改善される。

(3) 負荷においてもクラック発生後は、鋼製枠と鋼製枠内のコンクリートは鋼棒の引張力の増加による鋼製枠の局部変形により両者間の密着度が薄れ、前項まで十分な水密性が保持される。

なお、さらに多くの繰返し負荷を受ける場合の水密性の変化を検討するために実験を計画中である。

(参考文献)

- 1) 棚原、松石、竹下、若田、鋼板とコンクリートから構成されるワーカビリティ複合構造物の強度に関する研究(第16号)日本造船学会論文集第41号と142号
- 2) 村田二郎: コンクリートの水密性の研究、土木学会論文集、No.77

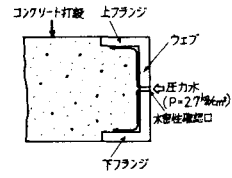


図5 木密性確認方法

表1 各種模型の実験方法および実験時にわける諸性状

模型 番号	模型 型別	実験 方法	水密性に対する評定	実験初期における現象	鋼製枠剥離の 有無	概要
M-1			特になし	噴出なし	変化なし	●
M-2			水中養生(1)	・	・	△
M-3			水中養生(2)	・	・	△
M-4	小型 模型	コンクリート打設 1ヶ月後で開始	水中養生(3) クラック	噴出なし 約1週間後停止	変化なし	△
M-5		2週間後 再開	水中養生(4) 引張力増加による 鋼製枠剥離の兆候	少し噴出	約4日後停止	△
M-6		鋼製枠分離	水みちの増加	噴出なし	変化なし	△
M-7		引張り強度 測定	引張り強度測定	・	・	△
M-8		引張り強度 測定	引張り強度測定	・	・	△
M-9		引張り強度 測定	引張り強度測定	・	・	△
M-10		面面シール	少しへ噴出	約1週間後停止	△	△
P-1	大型 模型 鋼製 枠	1ヶ月養生後 4ヶ月後 2回引張り 1ヶ月後 鋼製枠 剥離(2.8kg/cm²) 実験終了 測定(5.5kg/cm², 20kg)	特になし	2つのコーナー 部に喷出あり 引張り強度測定 は約1ヶ月後 引張り強度は約 1ヶ月後停止	△	△
J-1	小範 囲型 鋼製 枠	1ヶ月養生後 開始	waterability 改善 へをもとに	噴出なし	約10回後停止 引張り強度は約 1ヶ月後停止	△
J-2		前項まで段階的に貯貯	・	・	最終まで噴出なし	△

(1) 水中養生はコンクリート打設後1日目より道灌水(水温8~15°C)

(2) 再び上記はコンクリート打設、砂引抜き実施

(3) グラウトは新規PS導入部、他方は導入部に実施

(4) P-2: クラック発生荷重

表2 コンクリートおよびグラウトの水密配合

模型番号	種類	細骨材水硬材 比 (mm)(%)	粗骨 材率 (%)	単位量 (kg/m³)	充填剤 セメント 組成 (kg/m³)(cm)(%)	コンクリート 充填剤充填 率の測定結果 (%)			標 志
						水 セメント 組成 (kg/m³)	セメント 充填 率 (%)	セメント 充填 率 (%)	
C-1 (1)	コンクリート	10	41	48	170 415 851 1081	3.32	4	2.9	569 41.9 M-S-149
C-2 (2)	コンクリート (鋼製枠)	-	42	-	168 40 40 -	4.98	8	2.7	585 38.8 M-5
G-1 (1)	グラウト	10	41	48	168 410 857 1087	3.28	5	2.6	566 38.4
G-2 (2)	グラウト	-	10	41	48 170 415 851 1081	3.94	9	2.3	474 38.9